



## 消化ガスの有効利用為の放電脱硫(2) 印加電圧の種類、ガス添加が脱硫特性に与える影響

メタデータ	言語: jpn  出版者: 公益社団法人 応用物理学会  公開日: 2017-12-05  キーワード (Ja):  キーワード (En):  作成者: 西岡, 大介, 高橋, 一弘, 佐藤, 孝紀, 伊藤, 秀範  メールアドレス:  所属:
URL	<a href="http://hdl.handle.net/10258/00009499">http://hdl.handle.net/10258/00009499</a>

# 消化ガスの有効利用のための放電脱硫 (2) 印加電圧の種類、ガス添加が脱硫特性に与える影響

## Plasma assisted desulfurization for the effective use of a digestion gas

室蘭工大, <sup>○</sup>西岡 大介, 高橋 一弘, 佐藤 孝紀, 伊藤 秀範  
Muroran I. T., <sup>○</sup>Daisuke Nishioka, Kazuhiro Takahashi, Kohki Satoh, and Hidenori Itoh  
E-mail: 15043050@mmm.muroran-it.ac.jp

### 1. はじめに

下水処理場で発生する消化ガスは、 $\text{CH}_4$  および  $\text{CO}_2$  を主成分とし、21 ~ 23 MJ/Nm<sup>3</sup> の発熱量<sup>[1]</sup>を有しているため、再生可能エネルギーの一つとして注目されている。全国の下水処理場での消化ガス発生量は 277 百万 m<sup>3</sup>/年であり、その利用率は 7 割程度となっており、消化槽加温設備および消化ガス発電などに利用されている<sup>[2]</sup>。消化ガスには数 100 ppm の  $\text{H}_2\text{S}$  が含まれておらず、燃焼により有毒な  $\text{SO}_2$  に転化されるため、前処理として脱硫が不可欠である。従来、脱硫技術には酸化鉄を用いる乾式脱硫法が広く用いられてきたが、脱硫剤の交換および処理が必要となることから、脱硫剤が必要な方法の開発が望まれている。本研究は、放電プラズマ中の高エネルギー一種および活性種を用いて消化ガスの脱硫を行うことを目的としている。

放電脱硫の研究に関しては、高橋ら<sup>[3]</sup>が、パックトベッド放電を用いて  $\text{CH}_4$ ,  $\text{CO}_2$  および  $\text{H}_2\text{S}$  の混合ガスを分解し、 $\text{H}_2\text{S}$  の分解率、オフガスの生成物および  $\text{H}_2\text{S}$  の有無がバイオガスの改質に与える影響を報告している。また、Dors *et al.*<sup>[4]</sup>は、誘電体バリア放電および Ni 触媒を組み合わせた放電リアクタを用いて  $\text{CH}_4$ ,  $\text{CO}_2$  および  $\text{H}_2\text{S}$  の混合ガスを分解し、 $\text{H}_2\text{S}$  の分解率、副生成物の濃度および  $\text{CH}_4$  の  $\text{H}_2$  への転化率を報告している。しかし、放電脱硫特性を詳しく調査した研究は筆者が知る限り行われていない。ここでは、大気圧下で容易に発生できるパックトベッド放電を用い、模擬消化ガスを処理したときの  $\text{H}_2\text{S}$  の脱硫特性を調査した結果について報告する。

### 2. 実験装置および実験方法

放電リアクタは、ガラス製円筒管(内径  $\phi$  20 mm, 長さ 250 mm)内にガラスボール( $\phi$  3.0 mm)を充填し、その中心にステンレス棒( $\phi$  2 mm)を挿入し、円筒管外周にアルミメッシュ(幅 130 mm, 線径  $\phi$  0.29 mm, 16 mesh)を巻きつけたものである。 $\text{CH}_4 : \text{CO}_2 : \text{H}_2\text{S} = 60 : 40 : 0.05\%$  の模擬消化ガスを放電リアクタ内に 0.2, 0.3, 0.5, 1.0, 2.5 あるいは 5.0 L/min の流量でフローさせる。この状態で、インバータ駆動ネオントランジス(小寺電子製作所製, CR-N16)を用いて交流高電圧を棒電極とメッシュ電極間に印加してパックトベッド放電を発生させる。このとき、ワーメーター(日置電機製, PW3335)を用いて、スライダックを介してネオントランジスに供給される電力を測定する。放電リアクタで処理されたガスをサンプリングバッグに採取し、ガスクロマトグラフ(日立製作所製, 263-50, 热伝導度型検出器, 充填剤 :

Sunpak-S)を用いて  $\text{H}_2\text{S}$  濃度を測定する。

### 3. 実験結果

Fig. 1 は、作用エネルギー密度に対する  $\text{H}_2\text{S}$  の分解率を示す。分解率は  $\text{H}_2\text{S}$  の初期濃度および投入電力に依存するので、以下の式で示す作用エネルギー密度でスケーリングを導入することで、様々な条件における分解率の比較を行う。なお、以下の式の作用エネルギー密度は、単位放電リアクタ内に供給される  $\text{H}_2\text{S}$  量あたりの投入電力密度です。

$$\frac{\text{ガス流量(L/min)} \times \text{H}_2\text{S 初期濃度(ppm)}}{\text{投入電力(W)}}$$

作用エネルギー密度の増加に伴い  $\text{H}_2\text{S}$  分解率が向上し、作用エネルギー密度が約 0.6 W/(L/min)·ppm のとき分解率が 100 % となると予想される。また、投入電力、初期濃度、リアクタ本数および接続方法を変えた場合でも、1 つの曲線で脱硫特性を示すことができることがわかった。

本研究は、月島機械株式会社の助成を受けて実施された。

### 参考文献

- [1] 日本下水道協会:「下水汚泥エネルギー利用調査報告書」
- [2] 日本下水道協会:「消化プロセス導入の可能性調査」
- [3] 高橋 一弘, 佐藤 孝紀, 伊藤 秀範 : IEEJ Trans. FM **134**, 60 (2014).
- [4] M. Dors, T. Izdebeski, M. Tański, and J. Mizeraczyk : Eur. Chem. Bull. **3**, 798 (2014).

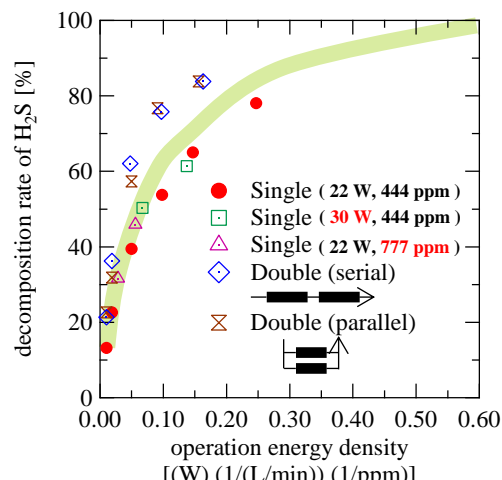


Fig. 1. Decomposition rate of  $\text{H}_2\text{S}$  as a function of operation energy density.